

СВЕТОИНДУЦИРОВАННЫЕ ПРОЦЕССЫ ТЕПЛОМАССОПЕРЕНОСА ОДНОКОМПОНЕНТНОГО ГАЗА В КАПИЛЛЯРЕ

И. В. Чермянинов, В. Г. Черняк*, Е. А. Вилисова

*Уральский государственный университет им. А. М. Горького
620083, Екатеринбург, Россия*

Поступила в редакцию 14 февраля 2007 г.

Теоретически исследуется светоиндуцированный тепло- и массоперенос однокомпонентного атомарного газа в капилляре при произвольных числах Кнудсена. Анализируются поверхностный и столкновительный механизмы переноса, обусловленные соответственно различием коэффициентов аккомодации и сечений столкновений возбужденных и невозбужденных частиц. Для кинетических коэффициентов, характеризующих дрейф газа в капилляре и поток тепла, получены аналитические выражения при малых и больших числах Кнудсена. При промежуточных числах Кнудсена проведены численные расчеты. Получены частотные профили скорости дрейфа газа и теплового потока. Для случая неоднородного уширения линии поглощения обнаружена зависимость направления светоиндуцированных потоков однокомпонентного газа не только от знака, но и от величины отстройки частоты излучения от центра линии поглощения.

PACS: 51.10.+y

1. ВВЕДЕНИЕ

Явление светоиндуцированного дрейфа газа (СИД) было предсказано в работах [1, 2]. Частицы, поглощающие монохроматическое излучение селективно по скоростям и находящиеся в смеси с буферным газом, приобретают направленное движение — дрейф. Роль буферного газа может играть поверхность канала, с которой возбужденные и невозбужденные частицы взаимодействуют по-разному — поверхностный СИД. Явление поверхностного светоиндуцированного дрейфа газа изучалось экспериментально и теоретически в работах [3–11].

В работах [12, 13] предсказан так называемый столкновительный СИД однокомпонентного газа вблизи граничной поверхности. Этот механизм СИД в безграничном газе невозможен в соответствии с законом сохранения импульса. Природа столкновительного механизма СИД состоит в том, что вследствие различия сечений столкновений эффективные толщины кнудсеновских слоев (пристеночный слой толщиной порядка средней длины свободного пробе-

га молекул) для потоков возбужденных и невозбужденных частиц различны. Пусть, например, сечение столкновений частиц, поглотивших излучение, увеличивается, т. е. средняя длина свободного пробега возбужденных частиц меньше, чем у невозбужденных частиц. При этом эффективная толщина кнудсеновского слоя для макроскопического потока возбужденных частиц будет меньше, чем для противонаправленного потока невозбужденных частиц газа. В результате эти потоки не компенсируют друг друга, и газ как целое смещается вдоль граничной поверхности в сторону макроскопического движения невозбужденных частиц.

СИД однокомпонентного газа в капилляре изучался в работах [4, 5, 14, 15]. Поверхностный СИД исследовался в режиме со скольжением [4] и в свободномолекулярном режиме [5]. В работах [14, 15] рассматривался поверхностный и столкновительный СИД однокомпонентного газа в капилляре при произвольных числах Кнудсена (Kn — отношение средней длины свободного пробега молекул к радиусу капилляра). Расчет основан на решении системы кинетических уравнений с аппроксимирующими интегралами столкновений второго порядка [16]. Особенно-

*E-mail: vladimir.chernyak@usu.ru

стью этих уравнений является то, что они удовлетворительно описывают либо движение газа, либо тепловой поток. Для описания совместного тепломасопереноса необходимо использовать кинетические модели более высокого порядка.

В данной работе рассматривается не только дрейф газа в капилляре, но и светоиндуцированный теплоперенос (СИТ). В отличие от работ [14, 15], здесь используются кинетические уравнения с аппроксимирующими интегралами столкновений третьего порядка, которые включают в качестве макропараметров скорость газа, тензор напряжений и поток тепла [16]. Такой подход позволит рассчитать СИТ в капилляре при произвольных числах Кн и количественно уточнить полученные ранее результаты [14, 15] для скорости СИД. При использовании кинетической модели третьего порядка можно прогнозировать новые результаты для частотных профилей дрейфа газа и теплового потока.

2. ПОСТАНОВКА ЗАДАЧИ

Рассмотрим стационарное движение однокомпонентного газа в капилляре радиуса r_0 , обусловленное резонансным взаимодействием газа с излучением, направленным вдоль оси капилляра z . Частицы газа предполагаются двухуровневыми, т. е. они могут находиться либо в основном состоянии n , либо в возбужденном m . Частота ω монохроматического излучения отстроена от центра линии поглощения ω_{mn} на величину $\Omega = \omega - \omega_{mn} \ll \omega$. Вследствие эффекта Доплера с излучением взаимодействуют лишь те частицы, проекции скорости \mathbf{v} которых на направление волнового вектора \mathbf{k} близки к резонансному значению v_0 , удовлетворяющему условию $k v_0 = \Omega$. Поглотившие излучение частицы изменяют свои транспортные свойства, в частности, сечение столкновений. Тогда газ можно рассматривать как бинарную смесь, в которой частицы имеют одинаковые массы, но различные сечения взаимодействия. При этом обмен частицами между компонентами возможен в результате радиационного распада возбужденного уровня, столкновительных и индуцированных переходов.

В распределениях возбужденных f_m и невозбужденных f_n частиц по скоростям вблизи резонансных значений $v_0 = \Omega/k$ возникают соответственно пик и провал Беннетта [17]. При $\Omega \neq 0$ эти распределения асимметричны относительно $v_z = 0$. Таким образом, коллинеарно оси z существуют противоположно направленные макроскопические пото-

ки возбужденных I_m и невозбужденных I_n частиц, а также соответствующие потоки тепла Q_m и Q_n . Вследствие различия в характере взаимодействия возбужденных и невозбужденных частиц с поверхностью капилляра и между собой потоки возбужденных и невозбужденных частиц оказываются нескомпенсированными: возникают дрейф газа вдоль капилляра (СИД): $I = I_m + I_n$ и поток тепла (СИТ): $Q = Q_m + Q_n$.

При стационарных условиях в двухуровневом приближении функции распределения f_n и f_m удовлетворяют следующей системе кинетических уравнений [17]:

$$\begin{aligned} \mathbf{v} \nabla f_n &= -\frac{1}{2} \chi(\mathbf{v}) \Gamma_m (f_n - f_m) + \Gamma_m f_m + S_n, \\ \mathbf{v} \nabla f_m &= \frac{1}{2} \chi(\mathbf{v}) \Gamma_m (f_n - f_m) - \Gamma_m f_m + S_m, \\ \chi(\mathbf{v}) &= \frac{4|G_{mn}|^2 \Gamma}{\Gamma_m [\Gamma^2 + (\Omega - \mathbf{k} \cdot \mathbf{v})^2]}, \quad G_{mn} = \frac{E d_{mn}}{2\hbar}. \end{aligned} \quad (1)$$

Здесь Γ_m — постоянная радиационного распада возбужденного уровня, Γ — однородная полуширина линии поглощения на переходе $m-n$, S_n , S_m — интегралы столкновений, E — амплитуда электрического поля, d_{mn} — дипольный момент перехода $m-n$, \hbar — постоянная Планка, \mathbf{k} — волновой вектор, G_{mn} — частота Раби.

Параметр насыщения $\chi(\mathbf{v})$, характеризующий вероятность индуцированных переходов, пропорционален интенсивности излучения и, следовательно, в общем случае зависит от продольной координаты z вследствие поглощения излучения газом. Однако в случае оптически тонкой среды или на сравнительно небольших расстояниях величину $\chi(\mathbf{v})$ в первом приближении можно считать не зависящей от координаты z . Интенсивность излучения по сечению капилляра предполагается однородной. Длина капилляра L много больше его радиуса r_0 , так что концевыми искажениями профилей газовых потоков можно пренебречь. При этих условиях функции распределения f_n и f_m не зависят от продольной координаты z .

Примем приближение упругих столкновений частиц газа со стенкой капилляра. При этом в качестве граничных условий для уравнений (1) выберем модель зеркально-диффузного отражения, согласно которой доля $1 - \varepsilon_i$ частиц i -го сорта отражается зеркально, а доля ε_i — диффузно с максвелловским распределением по скоростям:

$$f_i^+(\mathbf{v}) = \varepsilon_i f_i^s(\mathbf{v}) + (1 - \varepsilon_i) f_i^-(\mathbf{v} - 2(\mathbf{v} \cdot \mathbf{n})\mathbf{n}), \quad (2)$$

$$\mathbf{v} \cdot \mathbf{n} > 0,$$

$$f_i^s = \frac{n_i^s}{\pi^{3/2} \bar{v}^3} \exp\left(-\frac{v}{\bar{v}}\right)^2, \quad (3)$$

$$\bar{v} = \left(\frac{2k_B T}{m_0}\right)^{1/2}, \quad i = m, n.$$

Здесь \mathbf{n} — внутренняя нормаль к поверхности капилляра; верхние индексы «+», « s » и «-» относятся соответственно к отраженным, испущенным диффузно и налетающим на поверхность частицам; n_i^s — числовая плотность диффузно рассеянных частиц в i -м состоянии, m_0 — масса частицы, k_B — постоянная Больцмана, T — средняя температура системы, \bar{v} — средняя скорость теплового движения частиц.

Если параметр насыщения в среднем мал ($\chi \ll 1$), что ограничивает возможные значения интенсивности излучения, то состояние каждого компонента газа является слабонеравновесным. В этом случае функции распределения скоростей могут быть представлены в виде возмущенных максвелловских распределений:

$$f_i(\mathbf{r}, \mathbf{v}) = f_{i0} [1 + h_i(\mathbf{r}, \mathbf{v})], \quad |h_i(\mathbf{r}, \mathbf{v})| \ll 1, \quad (4)$$

где

$$f_{i0} = \frac{n_{i0}}{\pi^{3/2} \bar{v}^3} \exp\left(-\frac{v}{\bar{v}}\right)^2, \quad i = n, m,$$

n_{i0} — равновесная числовая плотность частиц в i -м состоянии, h_i — неизвестные функции возмущения, \mathbf{r} — радиус-вектор в плоскости, перпендикулярной оси z .

Предположим, что межчастичные столкновения являются упругими, а каждая из частот γ_{ii} и γ_{ij} (γ_{ii} , γ_{ij} — частоты столкновений частиц i -го сорта соответственно между собой и с частицами j -го сорта) много больше постоянной радиационного распада возбужденного уровня Γ_m . При этом в теории появляется малый параметр

$$\Gamma_m^{(i)} = \frac{\Gamma_m}{\gamma_{ii} + \gamma_{ij}} \ll 1, \quad i, j = n, m \quad (i \neq j). \quad (5)$$

Неравенство (5) накладывает некоторое ограничение на минимальное давление газа в капилляре.

С учетом принятых предположений кинетические уравнения (1), линеаризованные относительно функций возмущения h_i (4) и параметров $\Gamma_m^{(i)}$ (5), с использованием аппроксимирующих интегралов столкновений третьего порядка в форме Мак-кормака [16] после приведения к безразмерному виду записываются как

$$\begin{aligned} \mathbf{c}_\perp \cdot \frac{\partial h_i}{\partial \mathbf{R}} + \delta_i h_i &= c_z \delta_i \left\{ \frac{\Gamma_m^{(i)} \chi(\mathbf{v})}{2} \left(\frac{n_{j0}}{n_{i0}} - 1 \right) \frac{1}{c_z} + \right. \\ &+ 2 \left[u_i - \varphi_{ij}^{(1)}(u_i - u_j) - \varphi_{ij}^{(2)}(H_i - H_j) \right] + \\ &+ 4c_r \left[(1 - \varphi_{ii}^{(3)} + \varphi_{ii}^{(4)} - \varphi_{ij}^{(3)}) \pi_{irz} + \varphi_{ij}^{(4)} \pi_{jrz} \right] + \\ &+ \left. \frac{4}{5} \left(c^2 - \frac{5}{2} \right) \left[(1 - \varphi_{ii}^{(5)} + \varphi_{ii}^{(6)} - \varphi_{ij}^{(5)}) H_i + \right. \right. \\ &\left. \left. + \varphi_{ij}^{(6)} H_j - \frac{5}{2}(u_i - u_j) \varphi_{ij}^{(2)} \right] \right\}, \quad (6) \end{aligned}$$

где

$$\begin{aligned} \mathbf{c} &= \frac{\mathbf{v}}{\bar{v}}, \quad c_\perp^2 = c_r^2 + c_\theta^2, \quad c^2 = c_\perp^2 + c_z^2, \\ \mathbf{R} &= \frac{\mathbf{r}}{r_0}, \quad \delta_i = \frac{r_0}{\bar{v}} (\gamma_{ii} + \gamma_{ij}), \\ \varphi_{ij}^{(n)} &= \frac{\nu_{ij}^{(n)}}{\gamma_{ii} + \gamma_{ij}}, \quad \varphi_{ii}^{(n)} = \frac{\nu_{ii}^{(n)}}{\gamma_{ii} + \gamma_{ij}}, \\ u_i &= \frac{U_i}{\bar{v}} = \pi^{-3/2} \int \exp(-c^2) c_z h_i d\mathbf{c}, \\ \pi_{irz} &= \frac{P_{irz}}{2p_i} = \pi^{-3/2} \int \exp(-c^2) c_r c_z h_i d\mathbf{c}, \\ H_i &= \frac{q_i}{p_i \bar{v}} = \pi^{-3/2} \int \exp(-c^2) c_z \left(c^2 - \frac{5}{2} \right) h_i d\mathbf{c}, \\ i, j &= n, m, \quad i \neq j. \end{aligned} \quad (7)$$

Здесь \mathbf{R} , \mathbf{c}_\perp — двумерные безразмерные векторы, лежащие в плоскости, перпендикулярной оси z ; δ_i — параметр разреженности газа, обратно пропорциональный числу Kn; U_i , P_{irz} , q_i , p_i — соответственно макроскопическая скорость, касательное напряжение, тепловой поток и давление газа для i -го компонента смеси. Выражения для частот $\varphi_{ij}^{(n)}$, зависящие от вида потенциала межмолекулярных взаимодействий, приведены в работе [16].

Границные условия (2) для функций возмущения h_i с учетом линеаризации (4) принимают вид:

$$h_i^+(\mathbf{R}_0, \mathbf{c}) = (1 - \varepsilon_i) h_i^-(\mathbf{R}_0, \mathbf{c}) + \varepsilon_i \left(\frac{n_i^s - n_{i0}}{n_{i0}} \right), \quad (8)$$

$$\mathbf{R}_0 = \frac{\mathbf{r}_0}{r_0}, \quad |\mathbf{R}_0| = 1, \quad i = m, n.$$

Второе слагаемое в правой части выражения (8) не зависит от молекулярных скоростей и, следовательно, не дает вклада в макроскопическую скорость, тензор напряжений и поток тепла (7). Поэтому в дальнейшем его можно опустить.

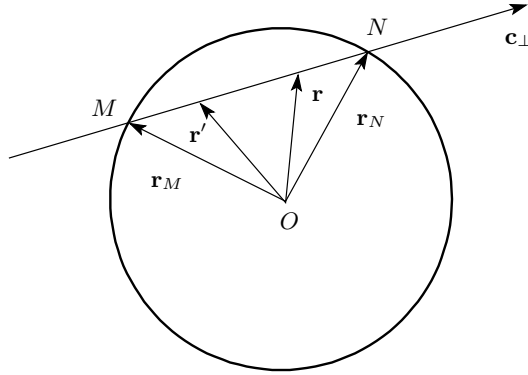


Рис. 1. Схема интегрирования вдоль направления скорости частиц c_{\perp}

3. ИНТЕГРАЛЬНО-МОМЕНТНЫЕ УРАВНЕНИЯ

Получим систему интегральных уравнений для макроскопических скоростей, напряжений и потоков тепла, связанных с частицами газа в основном и возбужденном состояниях. Воспользуемся для этого формализмом, который использовался ранее в работе [14]. Кинетические уравнения (6) с учетом граничного условия (8) проинтегрируем вдоль некоторого направления вектора скорости частиц c_{\perp} (рис. 1), полагая макроскопические величины в модельном интеграле столкновений известными. Полученные выражения для функций возмущения h_i подставим в соотношения (7). В результате получим систему интегрально-моментных уравнений для макроскопической скорости, касательного напряжения и потока тепла для возбужденных ($i = m$) и невозбужденных ($i = n$) частиц:

$$\begin{aligned} u_i &= \frac{\delta_i}{\pi} \iint_{\Sigma} \{(\psi_1 + A_i \chi_1) J_0(t) + \psi_2 w_{R'} J_1(t) + \\ &+ \psi_3 [J_2(t) - J_0(t)]\} \frac{d\mathbf{R}'}{|\mathbf{R} - \mathbf{R}'|} + \\ &+ \frac{\delta_i}{\pi} \iint_{\Sigma} \{(\psi_1 + A_i \chi_1) K_0 + \psi_2 w_{R_N} K_1 + \\ &+ \psi_3 [K_2 - K_0]\} \left(-\frac{\mathbf{R}_M \mathbf{R}}{R^2}\right) \frac{d\mathbf{R}'}{|\mathbf{R}' - \mathbf{R}_N|}, \quad (9) \end{aligned}$$

$$\begin{aligned} \pi_{irz} &= \frac{\delta_i}{\pi} \iint_{\Sigma} \{(\psi_1 + A_i \chi_1) w_R J_1(t) + \\ &+ \psi_2 w_{R'} w_R J_2(t) + \psi_3 w_R [J_3(t) - J_1(t)]\} \frac{d\mathbf{R}'}{|\mathbf{R} - \mathbf{R}'|} + \\ &+ \frac{\delta_i}{\pi} \iint_{\Sigma} \{(\psi_1 + A_i \chi_1) w_R K_1 + \psi_2 w_{R_N} w_R K_2 + \\ &+ \psi_3 w_R [K_3 - K_1]\} \left(-\frac{\mathbf{R}_M \mathbf{R}}{R^2}\right) \frac{d\mathbf{R}'}{|\mathbf{R}' - \mathbf{R}_N|}, \quad (10) \end{aligned}$$

$$\begin{aligned} H_i &= \frac{\delta_i}{\pi} \iint_{\Sigma} \left\{ A_i \left[\left(J_2(t) - \frac{5}{2} J_0(t) \right) \chi_1 + \chi_3 J_0(t) \right] + \right. \\ &+ \psi_1 [J_2(t) - J_0(t)] + \psi_2 w_{R'} [J_3(t) - J_1(t)] + \\ &+ \psi_3 \left[J_4(t) - 2J_2(t) + \frac{5}{2} J_0(t) \right] \left. \right\} \frac{d\mathbf{R}'}{|\mathbf{R} - \mathbf{R}'|} + \\ &+ \frac{\delta_i}{\pi} \iint_{\Sigma} \left\{ A_i \left[\left(K_2 - \frac{5}{2} K_0 \right) \chi_1 + \chi_3 K_0 \right] + \right. \\ &+ \psi_1 (K_2 - K_0) + \psi_2 w_{R_N} (K_3 - K_1) + \\ &+ \psi_3 \left(K_4 - 2K_2 + \frac{5}{2} K_0 \right) \left. \right\} \times \\ &\times \left(-\frac{\mathbf{R}_M \mathbf{R}}{R^2}\right) \frac{d\mathbf{R}'}{|\mathbf{R}' - \mathbf{R}_N|}. \quad (11) \end{aligned}$$

Здесь

$$\chi_k = \int_{-\infty}^{\infty} c_z^k \chi(c_z) \exp(-c_z^2) dc_z, \quad (12)$$

$$\begin{aligned} \psi_1 &= u_i - \varphi_{ij}^{(1)}(u_i - u_j) - \varphi_{ij}^{(2)}(H_i - H_j), \\ \psi_2 &= 2 \left[\left(1 - \varphi_{ii}^{(3)} + \varphi_{ii}^{(4)} - \varphi_{ij}^{(3)} \right) \pi_{irz} + \varphi_{ij}^{(4)} \pi_{jrz} \right], \end{aligned}$$

$$\begin{aligned} \psi_3 &= \frac{2}{5} \left[\left(1 + \varphi_{ii}^{(5)} - \varphi_{ii}^{(6)} - \varphi_{ij}^{(5)} \right) H_i + \right. \\ &\left. + \varphi_{ij}^{(6)} H_j - \frac{5}{2}(u_i - u_j) \varphi_{ij}^{(2)} \right], \end{aligned}$$

$$A_i = \frac{\Gamma_m^{(i)}}{2\sqrt{\pi}} \left(\frac{n_{j0}}{n_{i0}} - 1 \right),$$

$$J_n(t) = \int_0^{\infty} x^n \exp\left(-x^2 - \frac{t}{x}\right) dx,$$

$$\mathbf{w} = \frac{\mathbf{R} - \mathbf{R}'}{|\mathbf{R} - \mathbf{R}'|}, \quad w_R = \mathbf{w} \cdot \frac{\mathbf{R}}{|\mathbf{R}|}, \quad w_{R'} = \mathbf{w} \cdot \frac{\mathbf{R}'}{|\mathbf{R}'|},$$

$$\mathbf{w}_N = \frac{\mathbf{R}_N - \mathbf{R}'}{|\mathbf{R}_N - \mathbf{R}'|}, \quad w_{R_N} = \mathbf{w}_N \cdot \frac{\mathbf{R}'}{|\mathbf{R}'|},$$

$$\begin{aligned}
K_n(\mathbf{R}, \mathbf{R}', \varepsilon_i) = & \\
= & \int_0^\infty \frac{(1 - \varepsilon_i) \exp \left[-\frac{\delta_i}{c} |\mathbf{R}_M - \mathbf{R}| \right]}{1 - (1 - \varepsilon_i) \exp \left[-\frac{\delta_i}{c} |\mathbf{R}_M - \mathbf{R}_N| \right]} c^n \times \\
& \times \exp \left(-c^2 - \frac{\delta_i}{c} |\mathbf{R}' - \mathbf{R}_N| \right) dc.
\end{aligned}$$

Аргументом трансцендентных функций $J_n(t)$ [18] в уравнениях (9)–(11) является $t = \delta_i |\mathbf{R} - \mathbf{R}'|$, интегрирование проводится по площади поперечного сечения капилляра Σ .

Для вычисления величин χ_1 и χ_3 удобно воспользоваться плазменной функцией, численные значения которой табулированы в работе [19]. В типичном для газов случае неоднородного уширения ($\Gamma \ll k\bar{v}$) выражения для χ_k могут быть представлены в виде

$$\chi_k = \frac{4\pi}{k\bar{v}} \left(\frac{\Omega}{k\bar{v}} \right)^k \frac{|G_{mn}|^2}{\Gamma_m} \exp \left[- \left(\frac{\Omega}{k\bar{v}} \right)^2 \right]. \quad (13)$$

Для случая однородного уширения ($|\Omega|, \Gamma \gg k\bar{v}$) имеем $\chi_3 = 1.5\chi_1$, причем

$$\chi_1 = \frac{4\sqrt{\pi}\Omega k\bar{v}\Gamma}{\Gamma_m} \left(\frac{|G_{mn}|}{\Omega^2 + \Gamma^2} \right)^2. \quad (14)$$

Уравнения (9)–(11) определяют локальные значения макроскопических величин. Практический интерес представляют числовой поток (СИД) и поток тепла (СИТ), усредненные по сечению капилляра:

$$I = n\langle U \rangle = I_n + I_m = 2\bar{v} \int_0^1 (n_n u_n + n_m u_m) R dR, \quad (15)$$

$$\begin{aligned}
Q = \langle q_n \rangle + \langle q_m \rangle = & \\
= & 2k_B T \bar{v} \int_0^1 (n_n H_n + n_m H_m) R dR. \quad (16)
\end{aligned}$$

Для численных расчетов удобно ввести безразмерные величины G , \tilde{G} и S , \tilde{S} , связанные с размерными потоками следующими соотношениями:

$$\begin{aligned}
I &= \frac{n r_0 \Gamma_m}{2\sqrt{\pi}} (G \chi_1 + \tilde{G} \chi_3), \\
Q &= \frac{p r_0 \Gamma_m}{2\sqrt{\pi}} (S \chi_1 + \tilde{S} \chi_3).
\end{aligned} \quad (17)$$

Кинетические коэффициенты G , \tilde{G} , S , \tilde{S} в общем случае зависят от параметра разреженности δ_n , коэффициентов зеркально-диффузного отражения ε_i , кинетических сечений столкновений, а также от параметров модельного потенциала молекулярных взаимодействий.

4. РЕШЕНИЕ ИНТЕГРАЛЬНО-МОМЕНТНЫХ УРАВНЕНИЙ

Для определения потоков (15), (16) необходимо решить систему интегрально-моментных уравнений (9)–(11), которые являются уравнениями фредгольмовского типа второго рода. Воспользуемся методом Бубнова–Галеркина [20], основное достоинство которого состоит в том, что он позволяет получать достаточно точные значения усредненных по сечению капилляра потоков (15), (16), не определяя при этом точную зависимость макроскопических величин от радиальной координаты R .

Выберем последовательность координатных функций $(1, R, R^2, \dots, R^k, \dots)$ и представим неизвестные макроскопические величины в уравнениях (9)–(11) в виде разложений в степенные ряды по этим функциям. В L -приближении с учетом симметрии задачи примем:

$$\begin{aligned}
u_i^L &= \sum_{k=0}^{L-1} a_k^{(i)} R^{2k}, \quad \pi_{irz}^L = \sum_{k=1}^{L-1} b_k^{(i)} R^{2k-1}, \\
H_i^L &= \sum_{k=1}^{L-1} c_k^{(i)} R^{2(k-1)}.
\end{aligned} \quad (18)$$

Для определения коэффициентов разложений $a_k^{(i)}$, $b_k^{(i)}$, $c_k^{(i)}$ аппроксимации (18) необходимо подставить в систему уравнений (9)–(11) и потребовать ортогональность полученных соотношений к выбранным базовым функциям. Условие ортогональности двух любых функций f и g имеет вид

$$(f, g) = 2\pi \int_0^1 f(R)g(R)R dR = 0. \quad (19)$$

В работе [15] показано, что уже второе приближение ($L = 2$) обеспечивает удовлетворительную точность результатов во всем диапазоне чисел Кн. Поэтому проведем расчеты во втором приближении ($L = 2$).

С целью сокращения количества варьируемых параметров и упрощения численных расчетов ограничимся приближением малого различия эффективных диаметров возбужденных σ_m и невозбужденных σ_n частиц [21, 22], а также предположением, подтвержденным экспериментально [23], о почти диффузном рассеянии частиц на поверхности капилляра. Введем два малых параметра:

$$\left| \frac{\Delta\sigma}{\sigma_n} \right| = \left| \frac{\sigma_m - \sigma_n}{\sigma_n} \right| \ll 1, \quad (20)$$

$1 - \varepsilon_i \ll 1, \quad i = m, n.$

В линейном приближении по этим параметрам безразмерные коэффициенты уравнений (17) записутся в виде

$$\begin{aligned} G &= G_1 \Delta\varepsilon + G_2 \frac{\Delta\sigma}{\sigma_n}, & \tilde{G} &= G_3 \Delta\varepsilon + G_4 \frac{\Delta\sigma}{\sigma_n}, \\ S &= S_1 \Delta\varepsilon + S_2 \frac{\Delta\sigma}{\sigma_n}, & \tilde{S} &= S_3 \Delta\varepsilon + S_4 \frac{\Delta\sigma}{\sigma_n}, \\ \Delta\varepsilon &= \varepsilon_n - \varepsilon_m. \end{aligned} \quad (21)$$

Тогда безразмерные кинетические коэффициенты G_1, G_3, S_1, S_3 и G_2, G_4, S_2, S_4 , характеризующие вклады в величины СИД и СИТ соответственно поверхного и столкновительного механизмов, зависят только от параметра разреженности $\delta = \delta_n$.

Если эффективную частоту столкновений γ_{nn} выбрать по аналогии с моделью БГК (Бхатнагара–Гросса–Крука) в виде $\gamma_{nn} = p/\eta$, а коэффициент динамической вязкости газа положить равным $\eta = \rho\bar{v}/\sqrt{\pi}$ (\bar{v} — средняя длина свободного пробега молекул, ρ — плотность газа), то параметр разреженности δ будет связан с числом Кн соотношением

$$\delta = \frac{\sqrt{\pi}}{2\text{Kn}}, \quad \text{Kn} = \frac{l}{r_0}. \quad (22)$$

При промежуточных числах Кн был проведен расчет кинетических коэффициентов для молекулярной модели твердых сфер. Результаты показаны на рис. 2–6. В почти свободномолекулярном режиме ($\delta \ll 1$) и режиме со скольжением ($\delta \gg 1$) получены аналитические выражения для этих коэффициентов. В случае почти свободномолекулярного режима ($\delta \ll 1$) они равны:

$$\begin{aligned} G_1 &= \frac{16}{3\sqrt{\pi}} + 6\delta \ln \delta + 3.24\delta + \dots, \\ G_2 &= \delta \ln \delta + 0.6158\delta + \dots, \\ G_3 &= -0.438\delta + \dots, \\ G_4 &= -0.139\delta + \dots, \\ S_1 &= -\frac{32}{3\sqrt{\pi}} - 15\delta \ln \delta - 11.1\delta + \dots, \\ S_2 &= -\frac{5}{2}\delta \ln \delta - 2.039\delta + \dots, \\ S_3 &= G_1, \quad S_4 = G_2. \end{aligned} \quad (23)$$

В случае режима со скольжением ($\delta \gg 1$) коэффициенты равны:

$$\begin{aligned} G_1 &= \frac{1}{\varphi_{nn}^{(1)}} \frac{1 + \frac{3}{4}\alpha_1}{1 - \frac{5}{2}\alpha_1\alpha_2} \frac{1}{\delta} + \dots, \\ G_2 &= \frac{1}{2\varphi_{nn}^{(1)}} \frac{\left(1 + \frac{1}{2}\alpha_1\right)(1 - \alpha_3)}{1 - \frac{5}{2}\alpha_1\alpha_2} \frac{1}{\delta} + \dots, \end{aligned} \quad (24)$$

$$\begin{aligned} G_3 &= -\frac{13}{8\varphi_{nn}^{(1)}} \frac{\alpha_1}{1 - \frac{5}{2}\alpha_1\alpha_2} \frac{1}{\delta} + \dots, \\ G_4 &= -\frac{7}{4\varphi_{nn}^{(1)}} \frac{\alpha_1(1 - \alpha_3)}{1 - \frac{5}{2}\alpha_1\alpha_2} \frac{1}{\delta} + \dots, \end{aligned} \quad (25)$$

$$\begin{aligned} S_2 &= \frac{1}{2\varphi_{nn}^{(1)}} \frac{5\alpha_1 + 3\alpha_4}{1 - \frac{5}{2}\alpha_1\alpha_2} \frac{1}{\delta} + \dots, \\ S_4 &= -\frac{1}{\varphi_{nn}^{(1)}} \frac{\alpha_4}{1 - \frac{5}{2}\alpha_1\alpha_2} \frac{1}{\delta} + \dots, \end{aligned} \quad (26)$$

$$S_1 = O(\delta^{-2}), \quad S_3 = O(\delta^{-2}), \quad (27)$$

$$\alpha_1 = \frac{\nu_{nn}^{(2)}}{\nu_{nn}^{(5)}}, \quad \alpha_2 = \frac{\nu_{nn}^{(2)}}{\nu_{nn}^{(1)}}, \quad \alpha_3 = \frac{\nu_{nn}^{(4)}}{\nu_{nn}^{(3)}}, \quad \alpha_4 = \frac{\nu_{nn}^{(1)}}{\nu_{nn}^{(5)}}.$$

5. ОБСУЖДЕНИЕ РЕЗУЛЬТАТОВ

Решение кинетических уравнений (6) подтверждает качественный вывод о том, что СИД однокомпонентного газа возможен только в ограниченных системах, в то время как СИТ имеет место и в безграничном газе. С учетом выражений (26) в гидродинамическом режиме ($\delta \rightarrow \infty$) получаем следующую формулу для плотности теплового потока:

$$Q = \frac{p\bar{v}\Gamma_m}{2\sqrt{\pi}} \frac{\nu_{nn}^{(1)} \left(\chi_3 - \frac{3}{2}\chi_1 \right) - \frac{5}{2}\nu_{nn}^{(2)}\chi_1}{\nu_{nn}^{(1)}\nu_{nn}^{(5)} - \frac{5}{2}\nu_{nn}^{(2)}\nu_{nn}^{(2)}} \frac{\Delta\sigma}{\sigma_n}. \quad (28)$$

Заметим, что точно такое же выражение получается для плотности теплового потока из решения кинетического уравнения для безграничного пространственно-однородного газа.

Если пренебречь членами, пропорциональными частоте $\nu_{nn}^{(2)}$ (для модели твердых сфер $\alpha_1 \approx 0.07$ и $\alpha_2 \approx 0.1$), то в случае типичного для разреженных

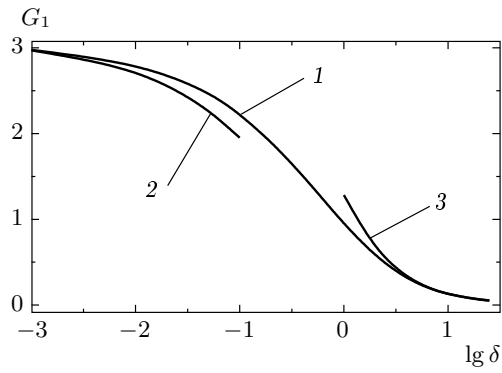


Рис. 2. Зависимости кинетического коэффициента G_1 от параметра разреженности δ : 1 — численный расчет, 2 — расчет по формулам (23), 3 — по формулам (24)

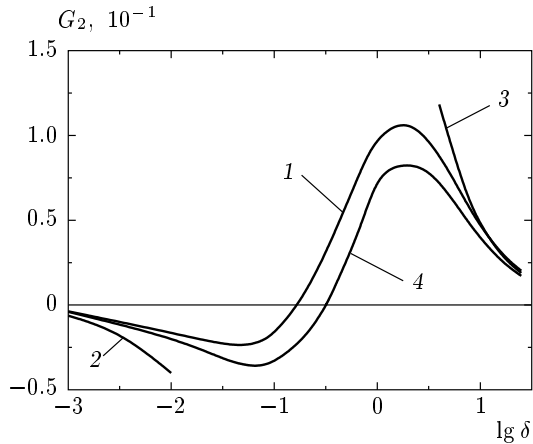


Рис. 3. Зависимости кинетического коэффициента G_2 от параметра разреженности δ : 1 — численный расчет, 2 — расчет по формулам (23), 3 — по формулам (24), 4 — результат работы [14]

газов неоднородного уширения ($\Gamma \ll k\bar{v}$) выражение (28) упрощается:

$$Q = \frac{2\sqrt{\pi} p\bar{v}\Omega}{\nu_{nn}^{(5)}} \left(\frac{|G_{mn}|}{k\bar{v}} \right)^2 \times \times \left[\frac{3}{2} - \left(\frac{\Omega}{k\bar{v}} \right)^2 \right] \frac{\Delta\sigma}{\sigma_n} \exp \left[- \left(\frac{\Omega}{k\bar{v}} \right)^2 \right]. \quad (29)$$

В случае однородного уширения ($\Gamma \gg k\bar{v}$) имеем $\chi_3 = 1.5\chi_1$ и, следовательно, СИТ является эффектом второго порядка, величина которого пропорциональна частоте $\nu_{ij}^{(2)}$ (порядка эффекта Дюфура). Отсюда следует, что аппроксимирующий интеграл столкновений второго порядка [16], который не содержит члены, пропорциональные $\nu_{ij}^{(2)}$, не дает кор-

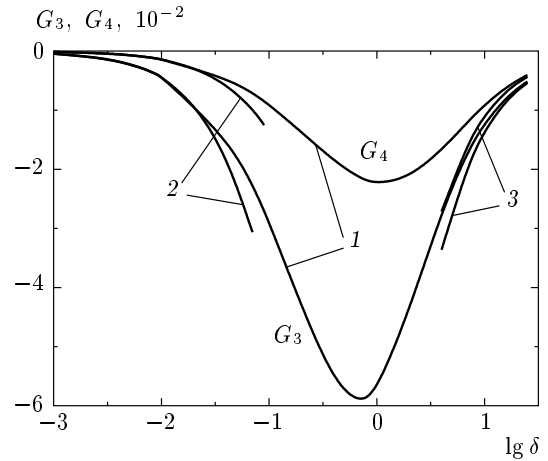


Рис. 4. Зависимости кинетических коэффициентов G_3 и G_4 от параметра разреженности δ : 1 — численный расчет, 2 — расчет по формулам (23), 3 — по формулам (25)

ректного описания явления СИТ. Более того, из решения кинетической модели второго порядка следует, что при однородном уширении явления СИТ в безграничном газе не существует.

Кинетические коэффициенты G_1 , G_3 и S_1 , S_3 , характеризующие соответственно поверхностные механизмы дрейфа и теплопереноса, являются знакопостоянными функциями параметра разреженности δ (рис. 2, 4, 5). Поэтому направления поверхностных составляющих СИД и СИТ определяются знаками разности $\Delta\varepsilon$ коэффициентов аккомодации возбужденных и невозбужденных частиц и отстройки Ω частоты излучения от центра линии поглощения, а также величиной параметра отстройки $x = \Omega/k\bar{v}$. Если $\varepsilon_n > \varepsilon_m$, то в случае однородного уширения направление поверхностной составляющей СИД при $\Omega > 0$ совпадает с направлением излучения, а при $\Omega < 0$ противоположно ему. В случае неоднородного уширения выражения (17) для потоков газа и тепла записываются в следующем виде:

$$I = nBx \left\{ (G_1 - |G_3|x^2)\Delta\varepsilon + (G_2 - |G_4|x^2)\frac{\Delta\sigma}{\sigma_n} \right\} \exp(-x^2), \quad (30)$$

$$Q = pBx \left\{ (-|S_1| + S_3x^2)\Delta\varepsilon + (S_2 - |S_4|x^2)\frac{\Delta\sigma}{\sigma_n} \right\} \exp(-x^2), \quad (31)$$

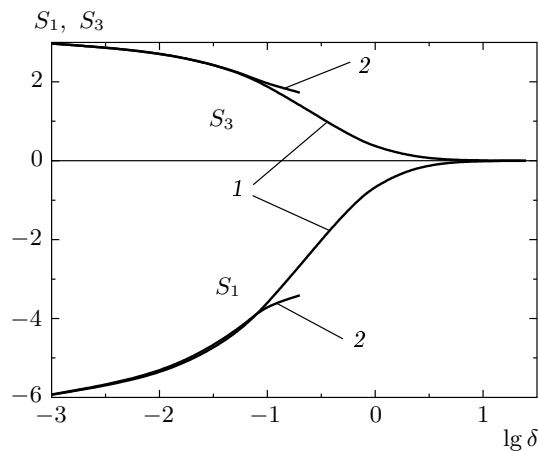


Рис. 5. Зависимости кинетических коэффициентов S_1 и S_3 от параметра разреженности δ : 1 — численный расчет, 2 — расчет по формулам (23)

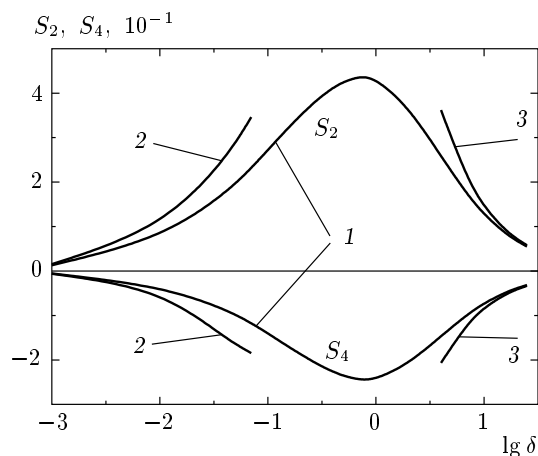


Рис. 6. Зависимости кинетических коэффициентов S_2 и S_4 от параметра разреженности δ : 1 — численный расчет, 2 — расчет по формулам (23), 3 — по формулам (26)

где

$$B = 2\sqrt{\pi} r_0 \frac{|G_{mn}|^2}{k\bar{v}}.$$

Из выражения (30) следует, что существуют такие значения параметра отстройки x , при которых поверхностный СИД отсутствует. Расчет показывает, что при $x \approx 3.2$ скорость поверхностного дрейфа изменяет свое направление на противоположное для любых значений параметра разреженности δ . Но при такой отстройке величина скорости СИД неизмеримо мала.

Зависимости коэффициентов G_2 и G_4 , характеризующих столкновительный механизм СИД, от параметра разреженности δ представлены на рис. 3, 4. Величина $G_4 < 0$ при всех значениях δ , а G_2 изменяет свой знак в промежуточном режиме при $\delta = \delta_{inv} \approx 0.18$. Коэффициент G_2 отрицателен при $\delta < \delta_{inv}$ и положителен при $\delta > \delta_{inv}$. Это означает, что скорость столкновительной составляющей СИД изменяет свое направление при изменении давления газа в капилляре.

В свободномолекулярном и вязком со скольжением режимах результаты численных расчетов хорошо согласуются с расчетами по асимптотическим формулам (23) и (24), что иллюстрируют кривые 2 и 3 на рис. 3. На рис. 3 также представлено решение (кривая 4) для кинетической модели второго порядка [14]. Наибольшее различие между результатами данной работы и работы [14] составляет около 37% при $\delta \approx 2$ ($Kn \approx 0.5$). Зависимость скорости СИД от частоты излучения определяется двумя усредненными по скоростям параметрами поглощения χ_1 и χ_3 , а не одним χ_1 , как это следует из элементарного рассмотрения [1, 2], а также из решения модельного кинетического уравнения второго порядка [14].

В случае неоднородного уширения при $\delta > \delta_{inv}$ частотная зависимость столкновительного СИД имеет дополнительные нули, кроме очевидного $\Omega = 0$, когда функции распределения скоростей возбужденных и невозбужденных частиц симметричны относительно нулевой проекции вектора скорости частиц на направление излучения. В зависимости от величины параметра разреженности δ столкновительная составляющая скорости СИД изменяет свое направление при значениях параметра отстройки в интервале $0.1 < x < 2.3$. При $\Delta\sigma > 0$ и $\Omega > 0$ в случае, когда $x > 2.3$, столкновительный СИД направлен против распространения излучения при любом давлении газа.

Частотная зависимость полного потока СИД определяется значениями параметров разреженности δ и $\xi = \Delta\varepsilon/(\Delta\sigma/\sigma_n)$. На рис. 7 показаны возможные зависимости безразмерного потока СИД $I^* = I/nB$ от параметра отстройки x в случае неоднородного уширения. При $\delta \geq 1$ и $|\xi| \leq 0.1$ (рис. 7, кривые 1, 2) частотный профиль скорости СИД имеет три нуля. В свободномолекулярном режиме дрейфа газа, а также при $|\xi| \geq 1$ зависимость потока СИД от частоты имеет единственный нуль в точке $x = 0$, соответствующей точному резонансу. В промежуточном режиме при $|\xi| \leq 0.1$ возможны оба варианта в зависимости от величины и знака параметра ξ .

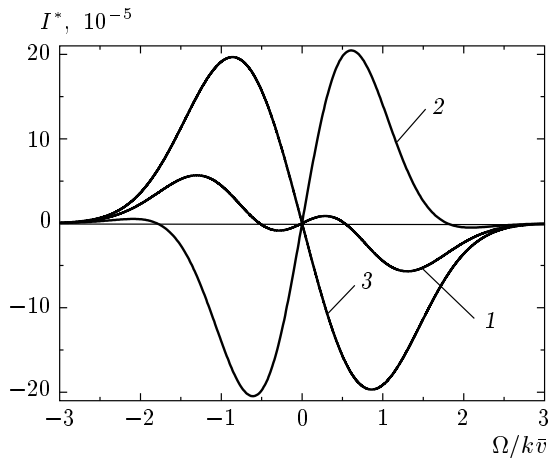


Рис. 7. Частотные профили СИД при $\xi = -0.1$, $\Delta\epsilon = -0.001$, $\Delta\sigma/\sigma_n = 0.01$, $\delta = 1$ (1), 2 (2), 0.7 (3)

Заметим, что наличие нескольких нулей в спектральном профиле потока СИД (так называемый аномальный СИД) наблюдался для молекул C_2H_4 в буферном газе Kr [24] и для атомов калия в смеси с двумя буферными газами, одним из которых был Ne [25]. В качестве причины аномального СИД указывалась знакопеременная зависимость от скорости поглощающих свет атомов разности транспортных частот столкновений для возбужденных и невозбужденных атомов с буферными частицами разного сорта [26, 27]. В нашем случае аномальный СИД однокомпонентного атомарного газа связан с тем, что спектральный профиль скорости СИД определяется двумя факторами поглощения $\chi_1(\Omega)$ и $\chi_3(\Omega)$, а не одним χ_1 , как предсказывали другие теории.

Направление СИТ также зависит не только от давления газа, знаков отстройки, разности коэффициентов аккомодации и разности эффективных диаметров частиц газа, но также и от величины параметра отстройки. Инверсные значения отстройки для поверхностной и столкновительной составляющих теплового потока, слабо зависящие от параметра разреженности δ , имеют значения в интервале $1.32 \leq x \leq 1.52$.

В режиме со скольжением ($\delta \gg 1$) величина поверхностного СИТ имеет порядок δ^{-2} (27), т. е. в рамках теории Чепмена–Энскога он может быть определен только в барнетовском приближении. Для однородного и неоднородного (в случае $x \leq 1.3$) уширений поверхностный СИТ всегда направлен противоположно поверхностному дрейфу газа. В случае неоднородного уширения при $x > 1.4$

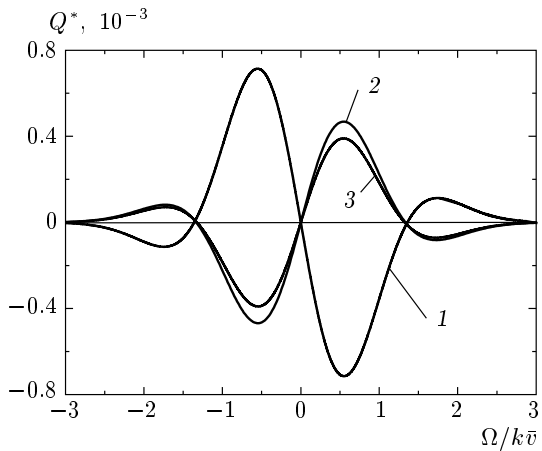


Рис. 8. Частотные профили СИТ при $\xi = 1$, $\Delta\epsilon = 0.01$, $\Delta\sigma/\sigma_n = 0.01$, $\delta = 1$ (1), 2 (2), 10 (3)

поверхностный СИТ меняет свое направление и оказывается сонаправленным поверхностной составляющей скорости СИД.

Столкновительный СИТ при однородном и неоднородном (в случае $x \leq 1.3$) уширениях при $\Omega > 0$, $\Delta\sigma/\sigma_n > 0$ направлен в сторону распространения излучения во всем диапазоне давления газа, а при $\Delta\sigma/\sigma_n < 0$ — против излучения. Для неоднородного уширения, когда $x > 1.5$, направление столкновительного СИТ меняется на противоположное.

На рис. 8 представлены частотные зависимости безразмерного полного потока тепла $Q^* = Q/pB$ при различных значениях параметра разреженности δ для неоднородного уширения. Частотный профиль СИТ всегда имеет несколько нулей, положения которых практически не зависят от давления газа. На рис. 8 также можно видеть изменение величины и направления теплового потока при изменении давления газа. При фиксированных значениях параметров x и ξ изменение давления газа приводит к изменению направления СИТ (кривые 1 и 2).

В заключение отметим, что, подбирая соответствующие значения частотного параметра x , можно исключить либо поверхностный, либо столкновительный механизмы СИД или СИТ. Это позволит с хорошей точностью определить параметры взаимодействия частиц с поверхностью и между собой, т. е. коэффициенты аккомодации и сечения взаимодействия возбужденных и невозбужденных частиц.

Работа выполнена при финансовой поддержке РФФИ (грант № 06-01-00594).

ЛИТЕРАТУРА

1. Ф. Х. Гельмуханов, А. М. Шалагин, Письма в ЖЭТФ **29**, 773 (1979).
2. Ф. Х. Гельмуханов, А. М. Шалагин, ЖЭТФ **78**, 1672 (1980).
3. А. М. Дыхне, А. Н. Старостин, ЖЭТФ **79**, 1211 (1980).
4. М. А. Ваксман, А. В. Гайнер, ЖЭТФ **89**, 41 (1985).
5. A. V. Ghiner, M. I. Stockman, and M. A. Vaksman, Phys. Lett. A **96**, 79 (1983).
6. П. Л. Чаповский, А. М. Шалагин, КЭ **13**, 2497 (1986).
7. R. W. M. Hoogeveen, R. J. C. Sprew, and L. J. F. Hermans, Phys. Rev. Lett. **59**, 447 (1987).
8. R. W. M. Hoogeveen, G. J. Van der Meer, and L. J. F. Hermans, Phys. Rev. A **42**, 6471 (1990).
9. M. A. Vaksman, Phys. Rev. A **44**, 4102 (1991).
10. G. J. Van der Meer, B. Broers, R. W. M. Hoogeveen et al., Physica A **182**, 47 (1992).
11. A. D. Streater and M. A. Vaksman, Canad. J. Phys. **78**, 285 (2000).
12. И. В. Чермянинов, В. Г. Черняк, Инж.-физ. журн. **55**, 906 (1988).
13. В. И. Ролдугин, Коллоид. ж. **50**, 506 (1988).
14. В. Г. Черняк, Е. А. Винтовкина, И. В. Чермянинов, ЖЭТФ **103**, 1571 (1993).
15. В. Г. Черняк, Е. А. Субботин, ЖЭТФ **108**, 227 (1995).
16. F. J. McCormack, Phys. Fluids **16**, 2095 (1973).
17. С. Г. Раутиан, Г. И. Смирнов, А. М. Шалагин, *Нелинейные резонансы в спектрах атомов и молекул*, Наука, Новосибирск (1979).
18. *Справочник по специальным функциям*, под ред. М. Абрамович, Наука, Москва (1979).
19. B. D. Fried and S. D. Conte, *The Plasma Dispersion Function*, Acad. Press, New York (1961).
20. С. Г. Михлин, *Вариационные методы в математической физике*, Наука, Москва (1970).
21. G. J. Van der Meer, R. W. M. Hoogeveen, L. J. F. Hermans et al., Phys. Rev. A **39**, 5237 (1989).
22. P. L. Chapovsky, G. J. Van der Meer, J. Smeets et al., Phys. Rev. A **45**, 8011 (1992).
23. И. В. Чермянинов, В. Г. Черняк, Г. А. Фомягин, ТВТ **23**, 1158 (1985).
24. G. J. Van der Meer, J. Smeets, S. P. Pod'yachev et al., Phys. Rev. A **45**, 1303 (1992).
25. F. Yahyaei-Moayyed and A. D. Streater, Phys. Rev. A **53**, 4331 (1996).
26. А. И. Пархоменко, ЖЭТФ **115**, 1664 (1999).
27. А. И. Пархоменко, ЖЭТФ **116**, 1587 (1999).